

悬索和吊桥及薄壁杆件理论

吴恒立 编著

重庆大学出版社

前　　言

本书系统、简明地阐述了悬索和吊桥以及薄壁杆件的计算理论。

第一章和第二章讲述悬索内力分析及其在吊装上的应用，它既是后面内容的基础，又可直接用于工程吊装的设计计算，经多次实际工程使用，效果良好。这部份内容，反映了作者的研究成果。

第三章、第四章和第五章讲述吊桥理论，包括线性、非线性、振动、空气动力稳定性等内容，是吊桥设计计算的理论基础。

吊桥的加劲梁常采用薄壁杆件，第六章和第七章讲述开口和闭口薄壁杆件的实用计算理论，包括箱形梁的剪力滞后效应以及考虑畸变的计算等内容。这部份内容既与吊桥的设计计算有关，又可以独立成篇。

本书力求做到力学概念和工程实用并重，说理清楚，深入浅出，推导详尽。由于篇幅限制，某些未及详细讨论的内容，则以阐述力学和数学概念为主，并推荐了必要的参考资料。书中各部份内容既互相呼应，又具有独立性，能适应较方面的需要。

本书可作为道路、桥梁、水利、建筑等土建类专业，高年级本科生和研究生的教材或教学参考书，也适合有关科研和工程单位的技术人员参考。全书承我院桥梁教研室瞿光义审阅，特致谢忱。

吴恒立

1991年11月

于重庆交通学院

内 容 提 要

本书系统而简明地阐述了悬索和吊桥的计算理论，以及薄壁杆件的计算理论。第一、二两章讲述悬索内力分析及其在吊装上的应用，它既是后面内容的基础，又可直接用于工程吊装的设计计算，反映了作者的研究成果。第三至五章讲述吊桥理论，包括线性、非线性、振动、空气动力稳定性等内容，是吊桥设计计算的理论基础。第六、七两章讲述开口和闭口薄壁杆件的实用计算理论，包括剪力滞后效应以及考虑畸变的计算等新内容，它既与吊桥加劲梁的设计计算有关，也可以独立成篇。

本书可作为道路、桥梁、建筑、水利等专业高年级本科生和研究生的教材或教学参考书，也适合有关科研和工程单位的技术人员参考。

悬索和吊桥及薄壁杆件理论

吴恒立 编著

责任编辑 蒋怒安

重庆大学出版社出版发行
新华书店 经销
重庆大学出版社印刷厂印刷

开本：787×1092 1/32 印张：5.5 字数：123 千
1992年10月 第1版 1992年10月 第1次印刷
印数：1—3000
标准书号：ISBN 7-5624-0514-X 定价：3.20元
TU·17

目 录

第一章 悬索静力分析	(1)
§1-1 基本概念.....	(1)
§1-2 计算悬索内力的近似法.....	(2)
§1-3 计算悬索内力的精确法.....	(11)
§1-4 支座位移及温度变化的影响.....	(14)
§1-5 用能量法计算悬索内力.....	(16)
第二章 悬索在吊装上的应用	(20)
§2-1 吊装用单跨悬索的计算.....	(20)
§2-2 吊装用多跨悬索的计算.....	(21)
§2-3 算例.....	(26)
§2-4 钢缆强度验算.....	(34)
习题.....	(37)
第三章 吊桥理论	(39)
§3-1 未加劲式吊桥的计算.....	(39)
§3-2 加劲式吊桥的偏度理论.....	(39)
§3-3 用富氏级数处理的偏度理论.....	(47)
§3-4 线性偏度理论.....	(56)
第四章 加劲式吊桥的铅垂振动	(64)
§4-1 加劲式吊桥的铅垂固有振动.....	(64)
§4-2 加劲式吊桥的铅垂强迫振动.....	(72)
§4-3 作为有限自由度体系的加劲式吊桥上部结构 的振动分析.....	(80)
第五章 吊桥的空气动力稳定性	(88)

§5-1	基本概念.....	(88)
§5-2	吊桥空气动力稳定性的计算.....	(92)
§5-3	提高吊桥空气动力稳定性的措施.....	(95)
第六章	开口薄壁杆件	(96)
§6-1	开口薄壁杆件的约束扭转.....	(96)
§6-2	开口薄壁杆件的弯扭屈曲	(120)
§6-3	梁的侧倾	(129)
第七章	闭口薄壁杆件	(133)
§7-1	闭口薄壁杆件的自由扭转	(133)
§7-2	闭口薄壁杆件的约束扭转	(138)
§7-3	箱形梁的剪力滞后效应	(155)
§7-4	考虑畸变箱形梁的约束扭转	(162)
参考文献	(169)

第一章 悬索静力分析

§1-1 基本概念

悬索具有柔性，是变化体系。即悬索的形状和尺寸将随荷载的大小、位置和分布规律等的不同而改变。我们知道，变化体系不遵守力的叠加原理，其荷载与变形间的关系是非线性的。因此悬索的计算较遵守叠加原理的线性变形体系复杂，例如影响线对于悬索就不能随便应用。

换言之，悬索的计算是几何非线性问题。因为，尽管悬索材料的应力-应变关系（本构关系）是线性弹性的，但应变与位移间的关系却是非线性的，而且平衡方程式要列在已变形的物体上。

计算悬索内力，常用两个基本假设：

(1) 悬索是绝对柔性的，即悬索的任一截面均不能承受弯矩。但在验算悬索的强度时，有时要考虑其刚度的影响。

(2) 悬索的材料服从虎克定律。

计算悬索内力有两种方法：一为假定荷载沿跨长分布的近似法，当荷载沿跨长均匀分布时亦称为抛物线法；另一为按实际情况考虑——即荷载沿索的弧长分布的精确法，当荷载沿索的弧长均匀分布时即为悬链线法。

下面分别介绍这两种方法。

§1-2 计算悬索内力的近似法

此法假定荷载沿跨长 l 分布。

图1-1a表示两支座不在同一水平位置，具有高差 c ，并受沿跨长 l 分布的任意垂直向下的荷载作用的悬索 AB 。

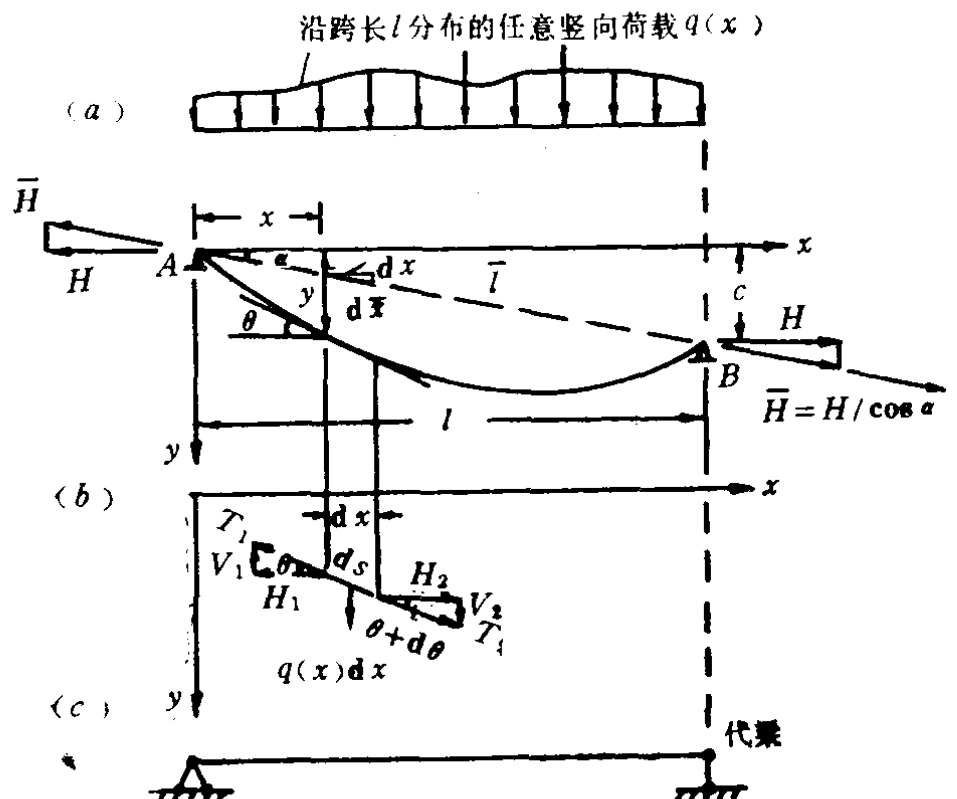


图1-1

今研究任一小段悬索元素 ds 的平衡(图1-1b)。因悬索不能承受弯矩，故元素 ds 上只有三个力作用，悬索的轴向内力 T_1 、 T_2 和竖向荷载 $q(x)dx$ 。由平衡条件 $\sum x=0$ 得

$$T_1 \cos \theta = T_2 \cos(\theta + d\theta)$$

$$\text{即 } H_1 = H_2 = H$$

此式表明悬索在任一截面上的横拉力 H (轴向内力 T 的水平投影)为常数。

由平衡条件 $\sum y = 0$ 得

$$-V_1 + V_2 + q(x)dx = 0$$

因为 $V_1 = H \tan \theta = H \frac{dy}{dx}$

$$V_2 = V_1 + dV = H \frac{dy}{dx} + d \left(H \frac{dy}{dx} \right)$$

$$= H \left[\frac{dy}{dx} + d \left(\frac{dy}{dx} \right) \right]$$

故 $-H \frac{dy}{dx} + H \frac{dy}{dx} + H d \left(\frac{dy}{dx} \right) + q(x)dx = 0$

即 $H \frac{d^2y}{dx^2} = -q(x)$

此即荷载沿跨长 l 分布时，悬索的平衡微分方程式。积分得

$$Hy = - \int_0^x \int_0^x q(x) dx dx + D_1 x + D_2$$

此即荷载沿跨长 l 分布时，悬索的平衡方程式，式中积分常数 D_1 和 D_2 由悬索的边界条件确定。

容易发现，这种悬索与跨长和荷载都和悬索相同的简支梁（以后简称代梁，图 1-1c）有某种内在联系：如将悬索上的集中荷载也视为分布在很短距离上的分布荷载，则

$$- \int_0^x q(x) dx = \text{代梁在 } x \text{ 截面的剪力 } Q$$

注意到悬索不可能受集中力偶作用，故

$$- \int_0^x \int_0^x q(x) dx dx = \int_0^x Q dx = \text{代梁在 } x \text{ 截面的弯矩 } M$$

根据图 1-1a 所示悬索的边界条件，可确定其积分常数 D_1 和 D_2 如下：

由 $x=0$ 时 $y=0$ 和代梁对应截面弯矩 $M_{x=0}=0$ 得

$$D_2 = 0$$

由 $x=l$ 时 $y=c$ 和代梁对应截面弯矩 $M_{x=l}=0$ 得

$$D_1 = H \frac{c}{l}$$

因此，图1-1a所示悬索，从 x 轴算起的悬索竖标 y 为

$$y = \frac{M}{H} + c \frac{x}{l} \quad (1-1)$$

式中， c 为支坐高差， M 为代梁在 x 截面的弯矩。

式(1-1)对 x 求导得

$$\frac{dy}{dx} = \frac{Q}{H} + \frac{c}{l} \quad (1-2)$$

式中， $Q = \frac{dM}{dx}$ 是代梁在 x 截面的剪力。

因 $ds = \sqrt{dx^2 + dy^2} = \sqrt{1 + \left(\frac{dy}{dx}\right)^2} dx$ ，故索长 L 为

$$L = \int_0^L ds = \int_0^l \sqrt{1 + \left(\frac{dy}{dx}\right)^2} dx$$

将 $\left[1 + \left(\frac{dy}{dx}\right)^2\right]^{1/2}$ 展成级数

$$\left[1 + \left(\frac{dy}{dx}\right)^2\right]^{1/2} = 1 + \frac{1}{2} \left(\frac{dy}{dx}\right)^2$$

$$+ \frac{\frac{1}{2} \left(\frac{1}{2} - 1\right)}{2!} \left(\frac{dy}{dx}\right)^4 + \frac{\frac{1}{2} \left(\frac{1}{2} - 1\right) \left(\frac{1}{2} - 2\right)}{3!}$$

$$\times \left(\frac{dy}{dx}\right)^6 + \dots = 1 + \frac{1}{2} \left(\frac{dy}{dx}\right)^2 - \frac{1}{8} \left(\frac{dy}{dx}\right)^4$$

$$+ \frac{1}{16} \left(\frac{dy}{dx}\right)^6 + \dots$$

当支座高差 c 远小于跨长 l , 代梁剪力 Q 远小于横拉力 H 时,
 dy/dx 的值很小, 略去高阶微量得

$$\begin{aligned} L &\approx \int_0^l \left[1 + \frac{1}{2} \left(\frac{dy}{dx} \right)^2 \right] dx \\ &= l + \frac{1}{2} \int_0^l \left(\frac{Q}{H} + \frac{c}{l} \right)^2 dx \\ &= l + \frac{1}{2H^2} \int_0^l Q^2 dx + \frac{c}{Hl} \int_0^l Q dx + \frac{c^2}{2l^2} \int_0^l dx \end{aligned}$$

注意到 $\frac{c}{l} = \tan\alpha$ (图 1-1a), $\int_0^l dx = l$, $\int_0^l Q dx$ 是代梁剪力图的面积, 而在任意竖向荷载作用下代梁剪力图的面积为零, 故

$$L \approx l + \frac{1}{2H^2} \int_0^l Q^2 dx + \frac{l}{2} \tan^2 \alpha \quad (1-3)$$

当 $\alpha < 20^\circ$, 用此式求索长 L 能得到可靠的结果。当支座在同一水平位置时($c=0$), 只需将 $\tan\alpha=0$ 代入式(1-3)即可。还要指出, 推导式(1-3)时略去的高阶微量是负值, 故由式(1-3)求出的索长值偏大。

如 α 较大, 由式(1-3)计算的索长数值, 误差很大, 此时, 能得到可靠结果的近似算法是将两支坐联线 AB 的长度 \bar{l} 作为跨长, 再按支座高差 $c=0$ 的悬索计算索长, 即

$$L \approx \bar{l} + \frac{1}{2\bar{H}^2} \int_0^{\bar{l}} \bar{Q}^2 d\bar{x} \quad (1-3a)$$

由图1-1a知: 式中 $\bar{l} = l/\cos\alpha$, 悬索轴向内力 T 在 AB 方向的投影 $\bar{H} = H/\cos\alpha$, 沿 \bar{x} 轴(即 AB 联线)的微段长度 $d\bar{x} = dx/\cos\alpha$ 。再注意到 \bar{Q} 是代梁剪力 Q 在垂直于 \bar{x} 轴方向的投影, 即 $\bar{Q} = Q\cos\alpha$ 。代入上式, 即得 $\alpha > 20^\circ$ 时索长公式的更便于使

用的形式

$$L \approx \frac{l}{\cos\alpha} + \frac{\cos^3\alpha}{2H^2} \int_0^l Q^2 dx \quad (1-3b)$$

式中， l 、 H 、 Q 仍是悬索的水平跨长、横拉力和代梁剪力。

横拉力 H 是悬索任意截面轴向内力 T 的水平分力

$$H = T \cos\theta$$

即 $T = \frac{H}{\cos\theta} = H \sec\theta = H \sqrt{1 + \tan^2\theta}$ $(1-4)$

$\tan\theta = \frac{dy}{dx}$, 由式(1-2)得

$$T = \sqrt{H^2 + \left(Q + H \frac{c}{l}\right)^2} \quad (1-4a)$$

由于悬索的代梁剪力 Q 总在某支座截面处最大，故悬索的最大轴向内力 T_{max} 发生在该支座截面处。

应用以上各式的前提条件是假定荷载沿跨长 l 分布。需要指出，它们尚未最后解决悬索的计算问题。因各式中均包含横拉力 H ，而 H 又是与悬索所取的位置有关系的。例如图 1-2a 所示支座位于不同高度上的悬索，已知跨中垂度为 f （悬索跨中截面与两支座联线间的竖向距离），当悬索受沿跨长 l 均匀的荷载 q 作用时，由式(1-1)知

$$H = \frac{M}{y - c \frac{x}{l}}$$

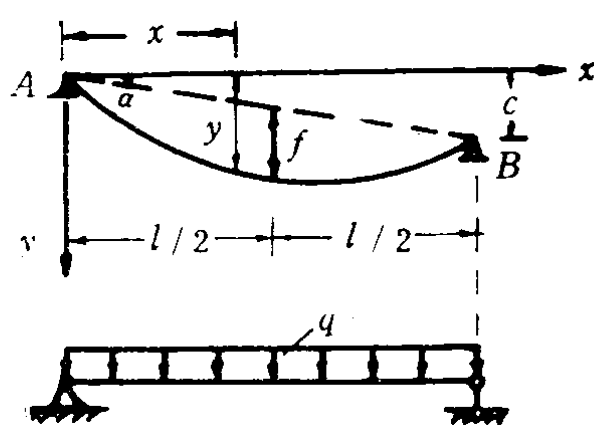
以代梁中点弯矩 $M = \frac{ql^2}{8}$ 及悬索跨中坐标 $x = \frac{l}{2}$, $y = f + \frac{c}{2}$ 代入得

$$H = \frac{ql^2}{8f}$$

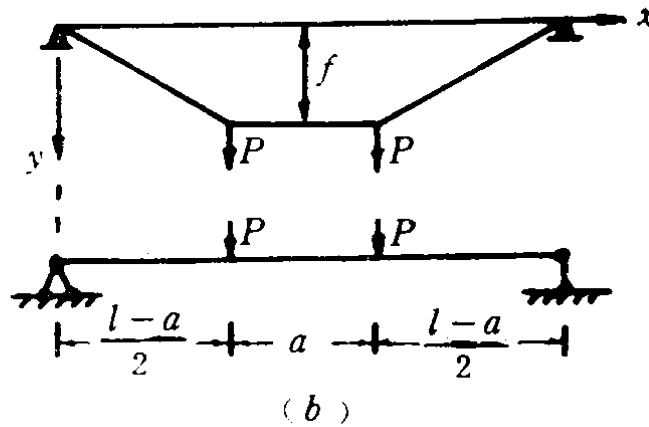
当 f 取的值不同时， H 也就不同。

又如图 1-2b 所示悬索，受间距为 a 的两个集中力 P 作用时（悬索两支座高差 $c=0$ ）

$$H = \frac{\text{代梁跨中截面弯矩 } M}{\text{垂度 } f} = \frac{P}{2f}(l-a)$$



(a)



(b)

当 f 取不同的值时，
 H 亦将不同。

悬索通常在给定的初始状态的基础上进行计算，初始状态的荷载已知，索的位置已知（例如垂度 f_0 已知），从而初始状态的横拉力 H_0 以及与 H_0 有关的一切量均为已知，需要求悬索在初始状态的基础上，受一附加荷载时所产生的内力，以及此时悬索所取的形状和位置。

此问题的困难在

于悬索受附加荷载后的几何形状与初始状态的几何形状不同，因此，必须在每一附加荷载的情况下确定索的新的几何形状，才能进行计算。由式 (1-1) 知

受附加荷载后索的形状 y_1 = 受附加荷载后代梁的弯矩 M_1
(由 x 轴算起的竖标) y_1 = 受附加荷载后索的横拉力 H

$$+ c \frac{x}{l}$$

代梁弯矩 M_1 不难确定，但新的横拉力 H_1 未知，故不能确定新的形状 y_1 。此外，由悬索的平衡条件，也不能确定 H_1 ，因悬索任一点的竖标 y_1 均为未知之故。

为了解决上述问题，必须引用悬索的变形条件，以下分两种情况进行讨论。

(一)不考虑悬索伸长影响的近似法

比较计算表明，只要悬索的垂跨比 $\frac{f}{l} < \frac{1}{10}$ ，就可假定荷载沿跨长 l 分布。对于 $\frac{1}{20} < \frac{f}{l} < \frac{1}{10}$ 的悬索，又可以认为悬索的长度 L 不变，即可以不考虑悬索弹性伸长的影响。这样，利用悬索在初始状态的长度 L_0 应该等于受附加荷载后的长度 L_1 的条件，即可解出受附加荷载后的横拉力 H_1 ，从而完成悬索受附加荷载作用的计算问题。

以下按此条件推导悬索受附加荷载后的横拉力 H_1 的计算公式。

设悬索在初始状态的已知横拉力为 H_0 ，初始荷载是沿跨长 l 分布的任意已知竖向荷载，则悬索在初始状态的长度 L_0 由式(1-3)为

$$L_0 = l + \frac{1}{2H_0^2} \int_0^l Q_0^2 dx + \frac{l}{2} \tan^2 \alpha$$

式中， Q_0 为初始状态的代梁剪力。

受附加荷载后 索长 L_1 为

$$L_1 = l + \frac{1}{2H_1^2} \int_0^l Q_1^2 dx + \frac{l}{2} \tan^2 \alpha$$

式中 H_1 和 Q_1 是悬索受附加荷载后的横拉力和代梁剪力。

因假设悬索不能伸长，即 $L_0 = L_1$ ，故

$$\frac{1}{2H_1^2} \int_0^l Q_1^2 dx = \frac{1}{2H_0^2} \int_0^l Q_0^2 dx$$

解得 $H_1 = H_0 \sqrt{\frac{\int_0^l Q_1^2 dx}{\int_0^l Q_0^2 dx}}$ (1-5)

有时采用的初始状态是悬索受沿跨长 l 均布的荷载 q 作用，初始状态的跨中垂度 f_0 预先给出。这时，初始横拉力 $H_0 = \frac{gl^2}{8f_0}$ ，代梁剪力 $Q_0 = \frac{ql}{2} - qx$ 及 $\int_0^l Q_0^2 dx = \frac{1}{12} q^2 l^3$ ，代入式(1-5)得

$$H_1 = \frac{\sqrt{3}l}{4f_0} \sqrt{\int_0^l Q_1^2 dx} \quad (1-5\alpha)$$

(二)考虑悬索伸长影响的近似法

$\frac{f}{l} < \frac{1}{20}$ 的小垂度悬索，假设荷载沿跨长 l 分布是正确的。但比较计算表明，此情况尚须考虑悬索的弹性变形，即需考虑悬索受力后伸长的影响。

因悬索轴向拉力 $T = \frac{\text{横拉力 } H}{\cos \theta}$ 及 $ds = \frac{dx}{\cos \theta}$ ，且悬索材料服从虎克定律，故悬索的弹性伸长 ΔL 为

$$\Delta L = \int_0^{\text{索长 } L} \frac{T ds}{EA} = \int_0^{\text{跨长 } l} \frac{H dx}{EA \cos^2 \theta}$$

又 $\frac{1}{\cos^2 \theta} = \sec^2 \theta = 1 + \tan^2 \theta = 1 + \left(\frac{Q}{H} + \frac{c}{l}\right)^2$

故

$$\Delta L = H \int_0^l \frac{1}{EA} \left[1 + \left(\frac{Q}{H} + \frac{c}{l} \right)^2 \right] dx \quad (1-6)$$

在 $\frac{f}{l} < \frac{1}{20}$ 的小垂度而且是小高差情况，虽需考虑伸长影响，但因 θ 很小，可近似地认为 $\cos\theta=1$ ，此外又假设悬索刚度 EA 为常数且在受力过程中保持不变，则

$$\Delta L = \frac{H}{EA} \int_0^l dx = \frac{Hl}{EA} \quad (1-6a)$$

根据悬索没有荷载作用时的长度为定值，有关系

$$l + \frac{1}{2H_0^2} \int_0^l Q_0^2 dx + \frac{l}{2} \operatorname{tg}^2 \alpha - \frac{H_0 l}{AE}$$

$$= l + \frac{1}{2H_1^2} \int_0^l Q_1^2 dx + \frac{l}{2} \operatorname{tg}^2 \alpha - \frac{H_1 l}{EA}$$

整理后得

$$H_1^2 - \left(H_0 - \frac{EA}{2lH_0^2} \int_0^l Q_0^2 dx \right) H_1^2$$

$$- \frac{EA}{2l} \int_0^l Q_1^2 dx = 0 \quad (1-7)$$

式中除 H_1 外均为已知，故由此可解得 H_1 。

积分 $\int_0^l Q^2 dx$ ，可以利用图形相乘法计算。设悬索受几种荷载作用，则对应于每种荷载均可画出代梁的剪力图，设为 Q_1, Q_2, \dots 等等，则代梁总的剪力为

$$Q = Q_1 + Q_2 + \dots$$

这时

$$\int_0^l Q^2 dx = \int_0^l Q_1^2 dx + \int_0^l Q_2^2 dx + 2 \int_0^l Q_1 Q_2 dx + \dots$$

只要右方各积分中，有一个 Q_i 是直线图形，则该积分就可以用图形相乘法算出。

§1-3 计算悬索内力的精确法

大垂度的悬索，必须按精确法计算，即承认荷载是沿索长分布的。今以沿索长受均布荷载 q 作用的悬索为例。说明精确法公式的来源和应用。

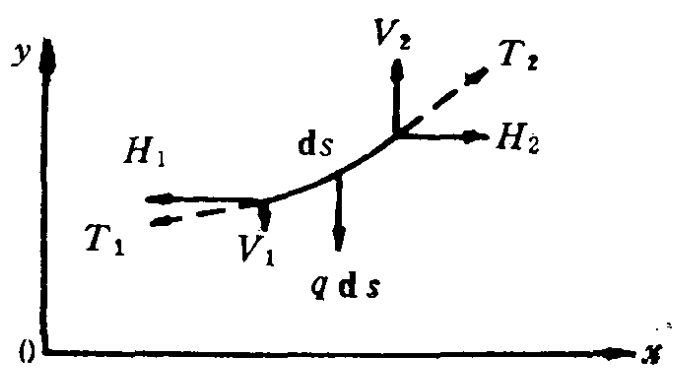


图1-3

衡（图1-3）。

由 $\sum x = 0$ 得

$$H_1 = H_2 = H$$

由 $\sum y = 0$ 得

$$V_2 - V_1 - q ds = 0$$

即 $dV = V_2 - V_1 = q ds$

又 $\frac{V}{H} = \frac{dy}{dx}$ ，故

$$\frac{dV}{dx} = H \frac{d^2 y}{dx^2} = \frac{q ds}{dx}$$

以 $ds = \sqrt{1 + \left(\frac{dy}{dx}\right)^2} dx$ 代入得

$$Hy'' = q\sqrt{1+y'^2}$$

悬索的平衡微分方程式为

$$\frac{dy'}{\sqrt{1+y'^2}} = \frac{q}{H} dx$$

积分得 $\operatorname{sh}^{-1} y' = \frac{q}{H} (x + D_1)$

即 $\frac{dy}{dx} = \operatorname{sh} \frac{q}{H} (x + D_1)$ (1-8)

再积分得悬索的平衡方程式

$$y = \frac{H}{q} \operatorname{ch} \frac{q}{H} (x + D_1) + D_2 \quad (1-9)$$

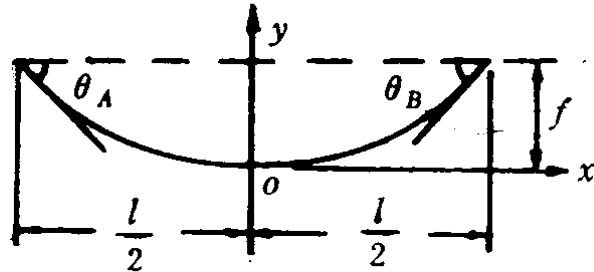


图1-4

式中 D_1 、 D_2 均为积分常数，与坐标系的选择有关。

设悬索两支点在同一水平位置，将坐标原点设在悬索的最低点，并使 x

轴和悬索相切，如图1-4所示。

当 $x = 0$ 时 $\frac{dy}{dx} = 0$ ，由式(1-8)得

$$\operatorname{sh} \frac{q}{H} (0 + D_1) = 0, \quad D_1 = 0$$

当 $x = 0$ 时 $y = 0$ ，由式(1-9)得

$$D_2 = -\frac{H}{q}$$

因此 $\frac{dy}{dx} = \operatorname{sh} \frac{qx}{H}$ (1-8a)